

# ШИРОКОПОЛОСНЫЕ УСТРОЙСТВА

## ОПРЕДЕЛЕНИЯ

- Неравномерность модуля коэффициента передачи  $s_{21}$  (или неравномерность усиления) в полосе частот  $[f_{\text{н}}; f_{\text{в}}]$  :

$$20 \lg \left( \frac{\max (|s_{21} (f)|)}{\min (|s_{21} (f)|)} \right), f \in [f_{\text{н}}; f_{\text{в}}]$$

## СОКРАЩЕНИЯ

- АЭ – активный элемент
- ЦК – цепь коррекции
- ЦС – цепь связи
- ШПУ – широкополосный усилитель

## ОБОЗНАЧЕНИЯ

- $f_{\text{н}}$  – нижняя частота полосы пропускания
- $f_{\text{в}}$  – верхняя частота полосы пропускания
- $\alpha \parallel \beta = \frac{\alpha \beta}{\alpha + \beta}$
- $\Delta$  – детерминант матрицы рассеяния четырёхполюсника
- $\theta$  – угловая электрическая длина
- $a$  – падающая волна
- $b$  – отражённая волна
- $K$  – инвариант устойчивости четырёхполюсника (по Роллетту)
- $s$  – коэффициент отражения от двухполюсника ( $s \in \mathbb{C}$ )
- $s_{ij}$  – элемент  $i$ -ой строки  $j$ -ого столбца матрицы рассеяния ( $s_{ij} \in \mathbb{C}$ )
- $z = r + jx$  – нормированный импеданс ( $z \in \mathbb{C}$ )
- $W$  – волновое сопротивление длинной линии

# 1 Децибелы

## 1.1 Определение

Про значения двух мощностей  $P_1$  и  $P_2$  говорят, что они отличаются на

$$10 \lg \left( \frac{P_2}{P_1} \right) \quad (1.1)$$

декибел.

## 1.2 Абсолютные и относительные величины

Когда нужно выразить *абсолютное* значение мощности  $P_2$  по децибелевой шкале, после сокращения “дБ” даётся указание на мощность  $P_1$ , от которой децибелы отсчитываются. Если  $P_1 = 1$  мВт, то результат записывают в дБм или дБмВт (dBm), если  $P_1 = 1$  Вт, то дБВт (dBW). Например,  $P_2 = 10$  мВт. По децибелевой шкале это либо  $10 \lg \left( \frac{10 \text{ мВт}}{1 \text{ мВт}} \right) = 10 \text{ дБм}$ , либо  $10 \lg \left( \frac{0,01 \text{ Вт}}{1 \text{ Вт}} \right) = -20 \text{ дБВт}$ .

При описании некоторых устройств (например, смесителей) бывает заведомо известно, что обсуждаемых  $P_1$  и  $P_2$  выполняется  $\frac{P_2}{P_1} < 1$ , и, следовательно, величина в (1.1) всегда отрицательна. В этих случаях принято брать  $-10 \lg \left( \frac{P_2}{P_1} \right)$  и называть эту величину *потерями* (мощности).

## 1.3 Важные соотношения

При вычислениях с децибелами полезно помнить некоторые часто встречающиеся соотношения (см. таблицу 1).

Таблица 1: Децибелы – важные соотношения

$\frac{P_2}{P_1}$	$10 \lg \left( \frac{P_2}{P_1} \right)$
2	3 дБ
4	6 дБ
5	7 дБ
10	10 дБ

## 2 Коэффициент отражения

### 2.1 Коэффициент отражения от импеданса на конце длинной линии

*Коэффициент отражения*  $s$  от импеданса  $Z$  для длинной линии с волновым сопротивлением  $W$  описывается формулой

$$s = \frac{Z - W}{Z + W} \quad (2.1)$$

Отношение справа в (2.1) зависит только от отношения  $\frac{Z}{W}$ , которое называется *нормированным импедансом* и обозначается  $z = \frac{Z}{W}$ . Тогда (2.1) переходит в

$$s = \frac{z - 1}{z + 1} \quad (2.2)$$

Зная  $s$ , нормированный импеданс находят по формуле

$$z = \frac{1 + s}{1 - s} \quad (2.3)$$

Физический смысл имеют величины, использующие квадрат модуля  $s$ . Так  $|s|^2$  – это отношение мощности волны, отражённой от  $Z$ , к мощности падающей волны, а  $1 - |s|^2$  показывает отношение мощности, выделяемой в  $Z$ , к мощности падающей волны. Последняя величина не превышает единицу для пассивного  $Z$ , и логарифм её всегда отрицателен. Поэтому в децибелльной шкале её берут с обратным знаком и называют *потерями согласования*:

$$-10 \lg (1 - |s|^2) \quad (2.4)$$

### 2.2 Передача мощности от генератора в нагрузку

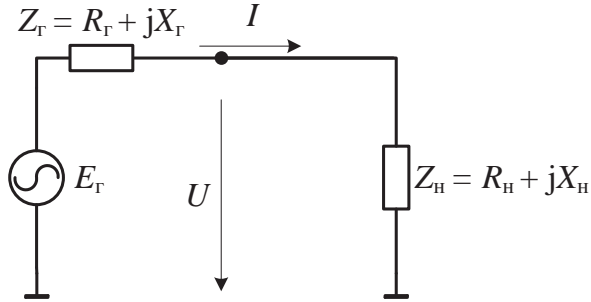


Рисунок 1 – Передача мощности от генератора в нагрузку

$$\begin{aligned} \text{Мощность (выделяемая) в нагрузке } P_h &= \frac{1}{2} \operatorname{Re} \left( U^* I \right) = \\ P_h &= \frac{1}{2} \frac{|E_g|^2}{4R_g + \frac{(R_h - R_g)^2}{R_h} + \frac{(X_h + X_g)^2}{R_h}} \end{aligned} \quad (2.5)$$

*Доступная мощность*  $P_g$  (наибольшая достижимая мощность в нагрузке)

$$P_g = \frac{|E_g|^2}{8R_g} \quad (2.6)$$

Доступная мощность выделяется в режиме согласования:  $Z_h = Z_g^*$ .

Используя (2.5), (2.6) можно переписать так:  $P_{\Gamma} \frac{4R_r R_h}{(R_h + R_r)^2 + (X_h + X_r)^2}$ . Отсюда легко видеть, что доля доступной мощности, теряемой из-за рассогласования

$$\frac{P_{\Gamma} - P_h}{P_{\Gamma}} = \frac{(R_h - R_r)^2 + (X_h + X_r)^2}{(R_h + R_r)^2 + (X_h + X_r)^2} \quad (2.7)$$

Выражение в правой части (2.7) – это  $\left| \frac{Z_h - Z_r^*}{Z_h + Z_r} \right|^2$ . Введём понятие коэффициента отражения от нагрузки  $s_h$  по аналогии с (2.1):

$$s_h = \frac{Z_h - Z_r^*}{Z_h + Z_r} \quad (2.8)$$

Если  $Z_r = R_r + j0$ , то (2.8) численно совпадает с (2.1) при замене  $Z_h$  на  $Z$ , а  $Z_r$  на  $W$ . Значит можно воспользоваться и (2.2), если принять  $z = \frac{Z_h}{R_r}$ . Следовательно,  $\frac{P_h}{P_{\Gamma}} = 1 - |s|^2$ .

Иногда удобнее рассмотреть коэффициент отражения от генератора  $s_r = \frac{Z_r - Z_h^*}{Z_r + Z_h}$ . Для него верно

$$1 - |s_r|^2 = \frac{(R_r - R_h)^2 + (X_r + X_h)^2}{(R_r + R_h)^2 + (X_r + X_h)^2} \quad (2.9)$$

Это выражение численно совпадает с (2.7). То есть оба коэффициента отражения сообщают одинаковую информацию о передаче мощности от генератора в нагрузку, поскольку квадраты их модулей равны. Следовательно, если  $Z_h = R_h + j0$ , то, принимая  $z = \frac{Z_r}{R_h}$ , можем воспользоваться (2.2), и снова получим  $\frac{P_h}{P_{\Gamma}} = 1 - |s|^2$ .

## 2.3 Коэффициент отражения: обобщение

Обобщив пп.2.1 и 2.2, можно сделать следующий вывод: в задачах, связанных с передачей мощности, удобно пользоваться величиной  $s$ , вычисляемой по формуле (2.2). При этом неважно, идёт ли речь о цепях с сосредоточенными или распределёнными параметрами. Соответственно, в обоих случаях потери рассогласования описываются формулой (2.4).

Строгое определение коэффициента отражения таково:

$$s = \frac{b}{a},$$

где

$a = \frac{U+IR_r}{\sqrt{8R_r}}$  – амплитуда падающей волны мощности (падающая волна);

$b = \frac{U-IR_r}{\sqrt{8R_r}}$  – амплитуда отражённой волны мощности (отражённая волна).

Стоит отметить, что в англоязычной литературе величины  $W$  или  $R_r$  обозначаются как  $Z_0$ .

## 2.4 Коэффициент отражения: математические сведения

Формула (2.2) осуществляет *дробно-линейное преобразование* (см. Лаврентьев М.А., Шабат Б.В. Методы теории функций комплексного переменного, 1958, с. 120-131 или любую другую книгу по теории функций комплексного переменного, где есть глава «Конформные отображения») полной комплексной плоскости переменного  $z = r + jx$  ( $z$ -плоскости) в полную комплексную плоскость переменного  $s$  ( $s$ -плоскость). (*Полная комплексная плоскость* содержит бесконечно удалённую точку, например,  $z = \infty$  для  $z$ -плоскости). Пример отображения точки  $z = \frac{1}{2} + j\frac{1}{2}$  показан на рисунке 2.

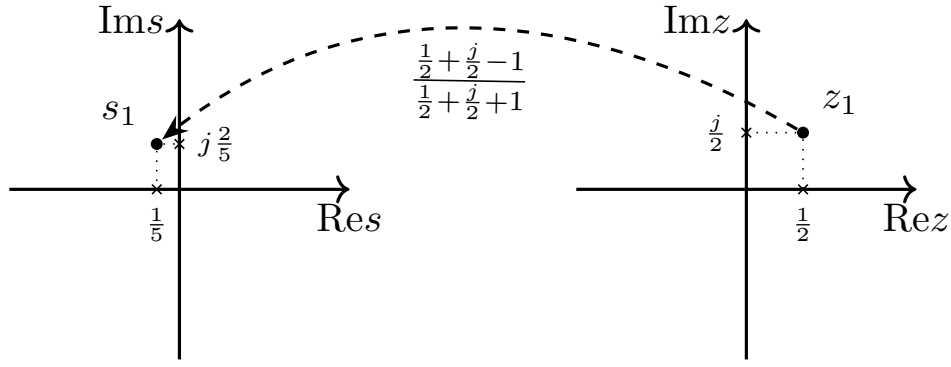


Рисунок 2 – Отображение точки  $z = \frac{1}{2} + j\frac{1}{2}$  в  $s$ -плоскость

Любое дробно-линейное преобразование обладает следующим свойством: оно отображает окружности одной плоскости в окружности другой плоскости. При этом нужно помнить, что *прямые в комплексной плоскости являются окружностями, проходящими через бесконечно удалённую точку*. Поэтому, например, образом прямой  $\text{Re } z = 0$  является окружность в  $s$ -плоскости (Рисунок 3).

Для того, чтобы построить окружность *достаточно* знать произвольные *три* точки, принадлежащие ей. Поэтому для построения образа окружности достаточно найти три точки этого образа, что и сделано на рисунке 3.

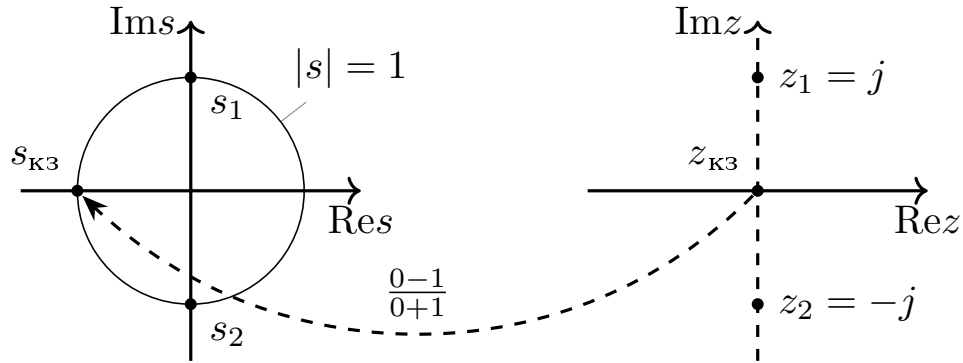


Рисунок 3 – Отображение мнимой  $z$ -оси в  $s$ -плоскость, построенное по трём точкам:  $z_{k3} = 0 + j0$ ,  $z_1 = 0 + j$ ,  $z_2 = 0 - j$

Образом мнимой оси  $\text{Re } z = 0$  является окружность  $|s| = 1$ . Она служит границей между областями коэффициентов отражения от пассивных и активных  $2\Pi$ . Внутри окружности находятся точки, соответствующие  $2\Pi$ , поглощающим энергию.

У преобразования (2.2) есть следующее свойство:  $\text{sgn}(\text{Im } z) = \text{sgn}(\text{Im } s)$ . Поэтому если окружность в  $z$ -плоскости расположена симметрично относительно действительной оси, её образ также будет симметричен относительно действительной оси  $s$ -плоскости. Поэтому для построения образа такой окружностей достаточно найти образы двух точек, лежащих на действительной оси (Рисунок 4).

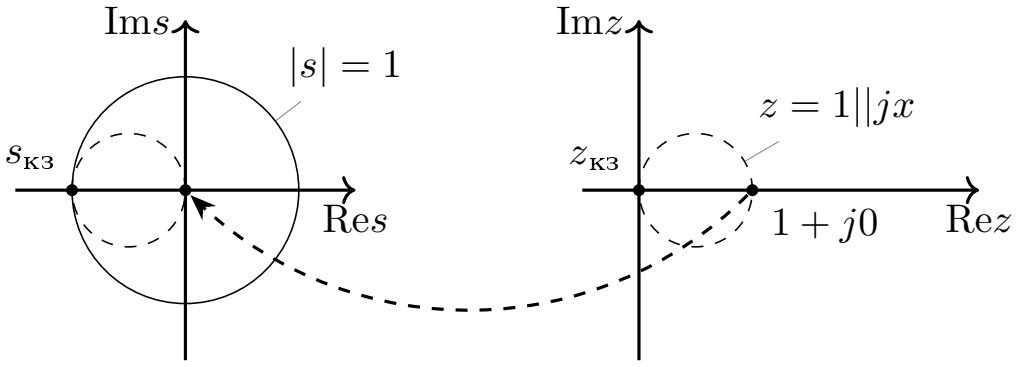


Рисунок 4 – Отображение окружности  $z = 1||jx$  в  $s$ -плоскость, построенное по двум точкам:  $z_{k3} = 0 + j0$ ,  $z = 1 + j0$

Окружность в  $s$ -плоскости на рисунке 4 является образом импедансов, обладающих единичной проводимостью.

Упомянутое выше свойство позволяет по образу в  $s$ -плоскости определить характер реактивности импеданса: если образ лежит в верхней плоскости, то характер – индуктивный, если в нижней – ёмкостный (Рисунок 5).

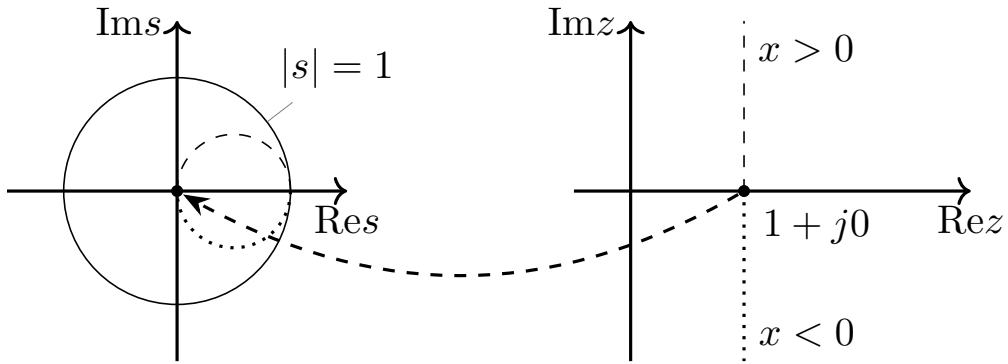


Рисунок 5 – Отображение прямой  $z = 1 + jx$  в  $s$ -плоскость с выделением частей образов, лежащих в разных полуплоскостях

## 2.5 Простейшее согласование двухполюсников

Свойства отображения (2.2), описанные выше, позволяют легко сформулировать правила составления простейших цепей, обеспечивающих, режим согласования между произвольными генератором и нагрузкой. Постановка задачи сводится к следующему набору условий:

- активный и пассивный 2П, описываемые импедансами  $Z_g = R_g + jX_g$  и  $Z_h = R_h + jX_h$ , не соотносящиеся дегенеративно, то есть:  $Z_h \neq Z_g^*$ ;
- нужно подключить к каждому 2П простейший реактивный 2П так, чтобы обеспечить согласование в каком-либо сечении между двумя исходными 2П.

Выполнение условие согласования в каком-либо сечении каскадно соединённых 4П эквивалентно выполнению условия  $s_\Lambda^* = s_\Pi$ , где  $s_\Lambda$  и  $s_\Pi$  – коэффициенты отражения в левом и правом направлении от плоскости сечения соответственно.

Очевидно, что наличие реактивной части в одном из импедансов не влияет принципиально в  $Z_g$  на решение задачи. Поэтому положим  $Z_g = R_g + j0$  и пронормируем  $Z_h$  к  $R_g$ , то есть  $z_h = \frac{Z_h}{R_g}$ . Слева на рисунке окажется импеданс  $1 + j0$ . Подключение последовательного или параллельного импедансов может привести только к движению точки  $s_\Lambda$  по одной из двух окружностей, обсуждённых ранее (Рисунок ).

*Рисунок Возможные положения ко от правой стороны сечения при согласовании двух произвольных двухполюсников*

Следовательно, каждое решение задачи эквивалентно нахождению таких включений реактивных 2Π справа, которые переведут точку  $s_n$  в точку  $s_\Pi$ , принадлежащую одной из этих окружностей. Тогда левый 4Π тривиально строится с помощью реактивного 2Π, перемещающего  $s_r$  в точку  $s_\Pi^*$ , получающуюся зеркальным отражением вдоль оси  $\text{Re} s = 0$ .

Можно выделить лишь четыре качественно различные случая:

- $s_n$  лежит внутри окружности  $\gamma$  (соответствующей, проводимостям больше 1);
- $s_n$  лежит внутри окружности  $\rho$  (соответствующей, сопротивлениям больше 1);
- $s_n$  лежит вне окружностей  $\gamma$  и  $\rho$ , и при этом  $\text{Im} s > 0$ ;
- $s_n$  лежит вне окружностей  $\gamma$  и  $\rho$ , и при этом  $\text{Im} s < 0$ .

Решения в этих случаях могут быть получены лишь включением последовательного, параллельного, ёмкостного или индуктивного 2Π справа соответственно. Для первых двух случаев соответствующий 2Π слева должен быть разноимённого включения и противоположной реактивности.

### 3 Обратимые четырёхполюсники

#### 3.1 Нагруженный четырёхполюсник

Если к 4П подключён 2П, как показано на рисунке 6, то говорят, что он нагружен этим 2П со стороны плеча 2. При этом со стороны плеча 1 измеряется входной импеданс  $Z_{\text{bx}_1}$ . Аналогично вводится определение  $Z_{\text{bx}_2}$ .

Входные импедансы со стороны  $i$ -го плеча при условии, что другое плечо нагружено КЗ или ХХ обозначаются  $Z_{\text{bx}_i}^{\text{K3}}$  и  $Z_{\text{bx}_i}^{\text{XX}}$  соответственно.

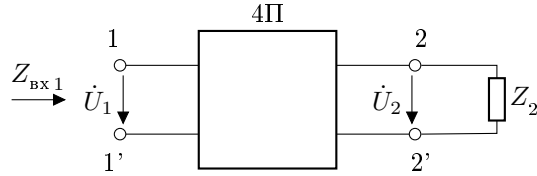


Рисунок 6 – Четырёхполюсник, нагруженный двухполюсником с импедансом  $Z_2$  на плече 2

#### 3.2 Собственные параметры обратимых четырёхполюсников

Записать любую матрицу обратимого 4П можно, зная лишь три параметра, которые называются характеристическими. Эти параметры – постоянная (или мера) передачи  $g$  и два характеристических импеданса  $Z_{W_1}$  и  $Z_{W_2}$ .

Характеристические импедансы (сопротивления) описываются выражением

$$Z_{W_i} = \sqrt{Z_{\text{bx}_i}^{\text{K3}} Z_{\text{bx}_i}^{\text{XX}}}. \quad (3.1)$$

а постоянная передачи связана с  $Z_{\text{bx}_i}^{\text{K3}}$  и  $Z_{\text{bx}_i}^{\text{XX}}$  простыми соотношениями:

$$\frac{e^{2g} - 1}{e^{2g} + 1} = \sqrt{\frac{Z_{\text{bx}_1}^{\text{K3}}}{Z_{\text{bx}_1}^{\text{XX}}}} = \sqrt{\frac{Z_{\text{bx}_2}^{\text{K3}}}{Z_{\text{bx}_2}^{\text{XX}}}}, \quad (3.2)$$

#### 3.3 Согласованное включение обратимых четырёхполюсников

Если нагрузить плечо 2 импедансом  $Z_2 = Z_{W_2}$  (см. рисунок 6), то  $Z_{\text{bx}_1} = Z_{W_1}$ . При этом, будет выполнено равенство  $\frac{U_1}{\sqrt{Z_{W_1}}} = e^g \frac{U_2}{\sqrt{Z_{W_2}}}$ . Из него следует, что мощность, поступившая через плечо 1, в  $|e^{2g}|$  раз больше, чем мощность, выделившаяся в нагрузке  $Z_2 = Z_{W_2}$ . Следовательно, величина  $e^{-g}$  аналогична  $s_{21}$ .

Если включить согласованно несколько обратимых 4П постоянная передачи составного 4П  $g_\Sigma$  будет суммой постоянных передач отдельных 4П  $g_i$ :

$$g_\Sigma = \sum g_i$$

#### 3.4 Примеры

##### 3.4.1 Г-образный четырёхполюсник

Г-образный 4П состоит из двух импедансов (Рисунок 7). Очевидно, что:

$$\begin{cases} Z_{\text{bx}_1}^{\text{XX}} = Z_\Pi; & Z_{\text{bx}_2}^{\text{XX}} = Z_T + Z_\Pi; \\ Z_{\text{bx}_1}^{\text{K3}} = Z_T \| Z_\Pi; & Z_{\text{bx}_2}^{\text{K3}} = Z_T. \end{cases} \quad (3.3)$$

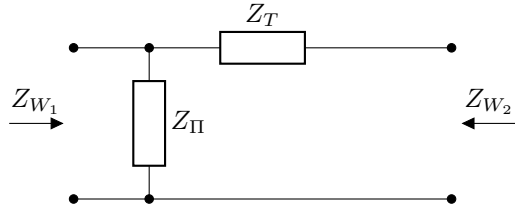


Рисунок 7 – Г-образный четырёхполюсник

Пользуясь (3.1) и (3.3), легко показать, что для Г-образного 4П

$$Z_{W_1} Z_{W_2} = Z_T Z_{\Pi}. \quad (3.4)$$

Пользуясь (3.2) и (3.3), получаем

$$\frac{e^{2g} - 1}{e^{2g} + 1} = \sqrt{\frac{Z_T}{Z_T + Z_{\Pi}}}. \quad (3.5)$$

Тогда, очевидно, что

$$\begin{cases} Z_{W_1} = Z_{\Pi} \frac{e^{2g} - 1}{e^{2g} + 1}; \\ Z_{W_2} = Z_T \frac{e^{2g} + 1}{e^{2g} - 1}. \end{cases} \quad (3.6)$$

### 3.4.2 Г-образный аттенюатор 1,5 дБ

Рассчитать резистивный Г-образный аттенюатор с  $Z_{W_1} = 50$  Ом и затуханием 1,5 дБ (Рисунок 8).

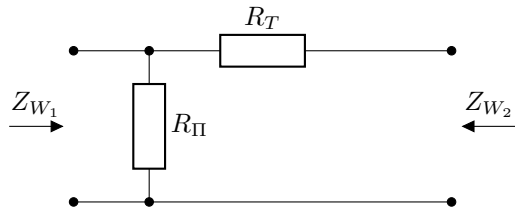


Рисунок 8 – Г-образный аттенюатор

Поскольку аттенюатор не содержит реактивных элементов,  $e^g$  будет действительной величиной.

1. Потеря 1,5 дБ соответствует  $e^{2g} = 10^{\frac{1.5}{10}} = 1,41$ .

2. Следовательно,  $\frac{e^{2g} - 1}{e^{2g} + 1} = 0,17$ .

3. Пользуясь (3.6), получаем:

$$R_{\Pi} = \frac{50}{0,17} = 292 \text{ Ом};$$

4. Пользуясь тем, что  $\frac{e^{2g} + 1}{e^{2g} - 1} = \sqrt{1 + \frac{R_{\Pi}}{R_T}}$ , получаем :

$$R_T = \frac{292}{1 - (0,17)^2} = 8,7 \text{ Ом.}$$

### 3.4.3 П-образный аттенюатор 3 дБ

Рассчитать П-образный аттенюатор с  $Z_{W_1} = Z_{W_2} = 50$  Ом и затуханием 3 дБ.

1. Включим последовательно два Г-образных аттенюатора, рассчитанных в 3.4.2, так, чтобы они соединились плечами, соответствующими  $Z_{W_2}$ .
2. Тогда при работе с 50-омными генератором и нагрузкой затухание получившегося 4П будет суммой затуханий двух Г-образных аттенюаторов, то есть  $1,5 + 1,5 = 3$  дБ.
3. Следовательно, решением задачи является П-образный 4П, состоящий из двух параллельных сопротивлений 292 Ом и последовательного сопротивления  $2 \cdot 8,7 = 17,4$  Ом.

### 3.4.4 Т-образный аттенюатор 6 дБ

Из рассмотрения предыдущих примеров очевидно, что расчёт Т-образного аттенюатора 6 дБ  $Z_{W_1} = Z_{W_2} = 50$  Ом легко провести в два шага. Сначала рассчитать Г-образный аттенюатор 3 дБ с  $Z_{W_2} = 50$  Ом. Затем соединить два таких аттенюатора плечами соответствующими  $Z_{W_1}$ .

Результат первого шага:  $R_T = 16,7$  Ом,  $R_\Pi = 133,3$  Ом.

Результат второго шага:  $R_T = 16,7$  Ом,  $R_\Pi = 66,7$  Ом.

### 3.4.5 Г-образная цепь согласования

Согласовать с помощью Г-образного 4П генератор с внутренним импедансом  $50 + j0$  с нагрузкой  $25 + j0$ . Иначе говоря, нужно построить Г-образный 4П с  $|e^{2g}| = 1$ ,  $Z_{W_1} = 50$  Ом и  $Z_{W_2} = 25$  Ом.

Сначала заметим, что  $Z_{W_2} = \sqrt{Z_{\text{bx}_2}^{\text{Kz}} Z_{\text{bx}_2}^{\text{xx}}} = \sqrt{Z_T^2 + Z_\Pi Z_T}$ . Здесь уместно применить (3.4). Тогда

$$Z_T = \sqrt{Z_{W_2}(Z_{W_2} - Z_{W_1})} = \pm j\sqrt{Z_{W_2}(Z_{W_1} - Z_{W_2})} = \pm j25 \text{ Ом.}$$

Ещё раз использовав (3.4), получим

$$Z_\Pi = \frac{Z_{W_1} Z_{W_2}}{Z_T} = \mp j Z_{W_1} \sqrt{\frac{Z_{W_2}}{Z_{W_1} - Z_{W_2}}} = \pm j50 \text{ Ом.}$$

Подставив полученные значения  $Z_T$  и  $Z_\Pi$  в (3.5) можно убедиться, что  $|e^{2g}| = 1$ .

Здесь уместно обсудить физический смысл полученного результата. Из приведённых выше выкладок следует, что

- элементы  $Z_T$  и  $Z_\Pi$  должны быть должны быть реактивностями противоположных знаков;
- должно выполняться неравенство  $Z_{W_1} > Z_{W_2}$ .

## 4 s-параметры четырёхполюсников

### 4.1 s-параметры – элементы матрицы рассеяния

По аналогии с коэффициентом отражения для 2П вводятся величины  $s_{ij}$ , описывающие поведение линейных многополюсников, в том числе четырёхполюсников (4П). Эти величины являются элементами матрицы, которая называется матрицей рассеяния или  $S$ -матрицей. Также  $s_{ij}$  часто называют *s-параметрами*.

Для децибелльного представления модулей s-параметров усилителей есть устоявшиеся названия:

- $-20 \lg |s_{11}|$  – обратные потери по входу (input return loss);
- $-20 \lg |s_{11}|$  – обратные потери по выходу (input return loss);
- $-20 \lg |s_{12}|$  – развязка (isolation);
- $20 \lg |s_{21}|$  – усиление (gain).

Обсуждаемые параметры дают возможность моделировать характеристики описываемых ими устройств. Информацию об  $S$ -матрицах на различных частотах сводят в специальные файлы.

### 4.2 Структура файла s-параметров (.s2p)

Файл s-параметров четырёхполюсника имеет расширение .s2p и содержит 9 столбцов данных. Каждая строка содержит значение частоты и соответствующие этой частоте модули и аргументы элементов s-матрицы в следующем порядке:

Частота	$ s_{11} $	$\arg(s_{11})$	$ s_{21} $	$\arg(s_{21})$	$ s_{12} $	$\arg(s_{12})$	$ s_{22} $	$\arg(s_{22})$

$|s_{ij}|$  может быть указан как в относительных единицах, так и в децибелах ( $20 \lg |s_{ij}|$ ).

Обычно таблице с данными предпосылается несколько строк комментария. Каждая строка комментария начинается с символа “!”. В некоторых строках комментария можно найти указание на условия измерения и формат данных.

Также есть строка начинаящаяся с символа “#” (строка 15 в нижеследующем примере), в которой указаны

- единицы измерения частоты;
- тип данных (s-параметры);
- формат записи комплексного числа (МА – амплитуда в относительных единицах и аргумент, DB – амплитуда в децибелах и аргумент, RI – действительная и мнимая части);
- сопротивление нормировки (волновое сопротивление) в Омах.

Пример файла .s2p дан на рисунке 9.

1	! Filename P\Prog\Test\Noise\ATS_data\Testdata_Net\03_Spar\BFU520A_APG2013_30_A05_08p0V_0
2	! Date/Time Wed 24/Apr/2013
3	! BFU520A_APG2013_30_A05_08p0V_1to20mA_SP_CM01_Bias8_R.s2p
4	! MDIF S-parameter v. bias file
5	! BFU520A_APG2013_30_A05_08p0V_1to20mA_SP_CM01
6	!
7	! VAR V_out= 8.0000
8	! VAR I_out= 19.9950
9	! VAR V_in= 0.8266
10	! VAR I_in= 0.2168
11	! Device data file deembeded for feedlines and parallel
12	! Original file: \03_Spar\BFU520A_APG2013_30_A05_08p0V_020mA_SP_CM01_R.s2p
13	! Feed-files: PR017V01_150413_Feed1.s2p, PR017V01_150413_Feed2.s2p
14	! Parallel-file PR017V01_150413_Par.s2p
15	#MHz S MA R 50
16	! <b>Freq MHz</b> S11-mag S11-arg S21-mag S21-arg S12-mag S12-arg S22-mag S22-arg
17	40 0.54458 -17.08 34.721 163.79 0.0061906 83.61 0.95882 -8.99
18	50 0.53201 -21.34 33.925 160.18 0.0076653 81.71 0.94296 -11.16
19	60 0.51988 -25.13 33.138 156.42 0.0091139 80.46 0.92721 -13.05
20	70 0.508 -28.93 32.369 153.25 0.010463 79.18 0.90935 -14.82
21	80 0.4938 -32.66 31.541 149.89 0.011749 78.09 0.89039 -16.50
22	90 0.47802 -35.94 30.539 146.77 0.012952 77.13 0.86993 -17.96
23	100 0.46432 -39.11 29.622 143.98 0.014147 76.38 0.84999 -19.28
24	120 0.43422 -45.32 27.849 138.70 0.016364 75.01 0.81112 -21.50
25	140 0.40699 -50.68 26.032 134.14 0.018431 74.11 0.77403 -23.20
26	160 0.37988 -55.64 24.294 130.05 0.020442 73.33 0.74027 -24.52
27	180 0.35564 -60.14 22.743 126.48 0.022312 72.90 0.70885 -25.51
28	200 0.3329 -64.13 21.304 123.27 0.024116 72.69 0.68171 -26.19

Рисунок 9 – Пример структуры файла s-параметров

## 4.3 Каскадное соединение четырёхполюсников

### 4.3.1 Общий подход: использование t-параметров

Даны  $N$  четырёхполюсников с  $S$ -матрицами  $S_I, S_{II}, \dots$ , и требуется найти  $S$ -матрицу устройства, полученного путём их каскадного соединения  $S_\Sigma$ . Эта задача решается в три шага:

1. матрицы  $S_I, S_{II}, \dots$  пересчитываются в  $T$ -матрицы  $T_I, T_{II}, \dots$  (см. п. 4.3.2);
2. рассчитывается  $T$ -матрица каскадного соединения  $T_\Sigma$ :

$$T_\Sigma = \underbrace{T_I T_{II} \dots}_N \quad (4.1)$$

3. по матрице  $T_\Sigma$  получают искомую матрицу  $S_\Sigma$ .

**Примечание.** Предполагается, что все матрицы измерены с использованием генераторов и нагрузок с одинаковыми импедансами  $Z = R + j0$ .

### 4.3.2 Перевод s-параметров в t-параметры и обратно

$$T = \frac{1}{s_{21}} \begin{pmatrix} 1 & -s_{22} \\ s_{11} & s_{12}s_{21} - s_{11}s_{22} \end{pmatrix} \quad (4.2)$$

$$S = \frac{1}{t_{11}} \begin{pmatrix} t_{21} & t_{11}t_{22} - t_{12}t_{21} \\ 1 & -t_{12} \end{pmatrix} \quad (4.3)$$

### 4.3.3 Матрицы элементарных четырёхполюсников с сосредоточенными элементами

Для построения простейших цепей связи достаточно использовать только два элементарных четырёхполюсника:

- Четырёхполюсник, образованный включённым *последовательно* двухполюсником с импедансом  $Z$ :

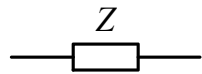


Рисунок 10 – Четырёхполюсник, состоящий из последовательно включённого двухполюсника

$S$ -матрицу такого четырёхполюсника удобно записать с использованием нормированного импеданса  $z = \frac{Z}{R}$  (см. примечание к п. 4.3.1):

$$S = \frac{1}{z+2} \begin{pmatrix} z & 2 \\ 2 & z \end{pmatrix} \quad (4.4)$$

- Четырёхполюсник, образованный включённым *параллельно* двухполюсником с импедансом  $Z$ :

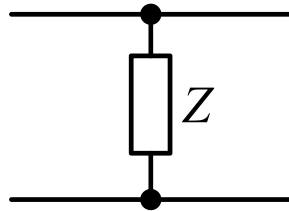


Рисунок 11 – Четырёхполюсник, состоящий из параллельно включённого двухполюсника

$S$ -матрицу такого четырёхполюсника удобно записать с использованием нормированного адmittанца (комплексной проводимости)  $y = (\frac{Z}{R})^{-1} = \frac{1}{z}$  (см. примечание к п. 4.3.1):

$$S = \frac{1}{y+2} \begin{pmatrix} -y & 2 \\ 2 & -y \end{pmatrix} \quad (4.5)$$

## 5 Коррекция частотной характеристики

### 5.1 Введение

При построении широкополосного усилителя (ШПУ), чтобы компенсировать неравномерность частотной характеристики усиления активного элемента (АЭ) каскадно с ним включают цепи коррекции (ЦК). Это пассивные цепи, вносящие потери на частотах с избыточным усилением АЭ, так чтобы снизить неравномерность модуля коэффициента передачи ШПУ  $|s_{21}^{\text{ШПУ}}|$ .

ЦК бывают двух типов: ЦК с отражением (реактивные) и ЦК с поглощением (диссипативные). Ниже каждый тип будет проиллюстрирован одним примером. Про них и про другие цепи коррекции можно прочитать в следующей литературе:

1. Проектирование радиопередающих устройств СВЧ: учебное пособие для радиотехнических специальностей вузов / Г. М. Уткин, и др. – М. : Советское радио, 1979. – 320 с. (гл. 6, с. 81-92)
2. Линейные транзисторные усилители СВЧ / Н. З. Шварц. – М.: Советское радио, 1980. – 368 с. (гл. 8-9, с. 183-232)
3. Широкополосные радиопередающие устройства / О. В. Алексеев, А. А. Головков, В. В. Полевой, А. А. Соловьев; под ред. О. В. Алексеева. — М. : Связь, 1978. — 304 с. (с. 40-45, с. 221-233)

### 5.2 Коррекция частотной характеристики с отражением

#### 5.2.1 Коррекция частотной характеристики с помощью малодобротного контура

Между генератором и нагрузкой последовательно включены L и C элементы (Рисунок 12).

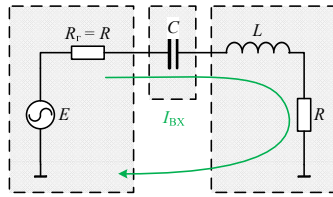


Рисунок 12 – Включение последовательного контура между генератором и нагрузкой

Эта цепь представляет собой последовательный колебательный контур с импедансом

$$Z = 2R(1 + j\xi), \quad (5.1)$$

где  $\xi(f) = Q_{\text{кк}} \left( \frac{f}{f_p} - \frac{f_p}{f} \right)$ ,  $Q_{\text{кк}} = \frac{\sqrt{L/C}}{2R}$  – добротность контура и  $f_p$  – резонансная частота контура. Далее,  $I_{\text{вх}}(f) = \frac{I_{\text{max}}}{\sqrt{1+\xi^2(f)}}$ , где  $I_{\text{max}} = I_{\text{вх}}(f_p)$  – максимальная амплитуда тока в контуре. Достигение  $I_{\text{max}}$  соответствует условию  $\xi(f_p) = 0$ . Настройкой контура можно добиться  $I_{\text{вх}} = I_{\text{max}}$  на любой частоте внутри  $[f_h, f_b]$  (Рисунок 13).

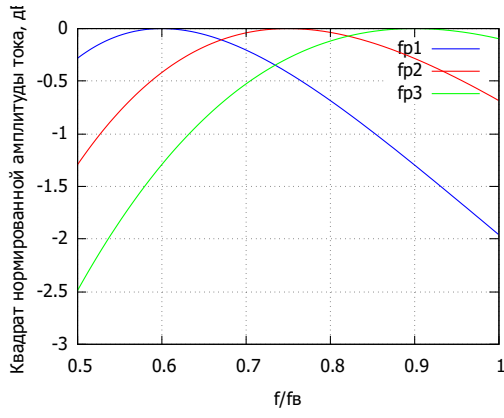


Рисунок 13 – Частотная характеристика  $20 \lg \left| \frac{I_{bx}}{I_{max}} \right| (f_{p1} < f_{p2} < f_{p3})$

Поскольку обсуждаемая цепь является частью ШПУ, в котором используется транзистор с убывающим обратно пропорционально частоте коэффициентом передачи тока, то стоит выбрать  $f_p = f_b$ , тем самым добившись максимального тока на входе АЭ. А затем подобрать  $Q_{kk}$  так, чтобы скомпенсировать избыточное усиление на нижнем краю полосы пропускания.

Результирующий коэффициент передачи пропорционален произведению двух сомножителей:

- Множитель 1:  $\left( \frac{f_b}{f} \right)^2$  описывает поведение частотной характеристики транзистора
- Множитель 2:  $\frac{1}{1+\xi^2(f)}$  описывает поведение частотной характеристики ЦК (Рисунок 14)

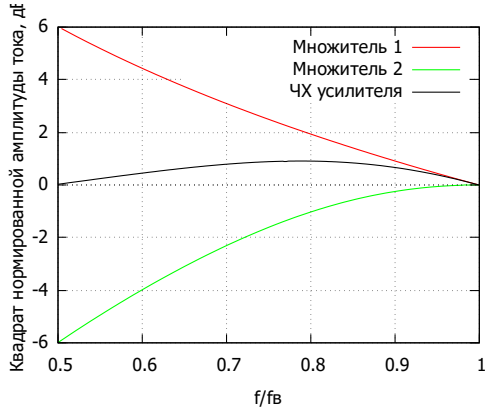


Рисунок 14 – Частотные характеристики нормированных коэффициентов передачи

При  $f = f_b$  произведение сомножителей равно 1. Нужно найти  $Q_{kk}$ , которая обеспечит выполнение того же равенства при  $f = f_h$ :  $\left( \frac{f_b}{f_h} \right)^2 \frac{1}{1+\xi^2(f_h)} = 1$ . Используя (5.1) получим:  $\left( \frac{f_b}{f_h} \right)^2 = 1 + Q_{kk}^2 \left( \frac{f_h}{f_b} - \frac{f_b}{f_h} \right)^2$ . Откуда следует искомое выражение

$$Q_{kk} = \frac{1}{\sqrt{1 - \left( \frac{f_b}{f_h} \right)^{-2}}} \quad (5.2)$$

Например, для октавного ШПУ ( $f_b = 2f_h$ )  $Q_{kk} = \frac{2}{\sqrt{3}} \approx 1,15$ . Добротности, отклоняющиеся от этого значения, приводят к большей неравномерности частотной характеристики в октавной полосе частот (Рисунок 15).

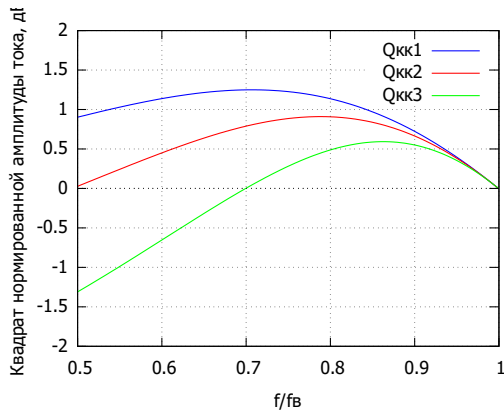


Рисунок 15 – Влияние величины добротности на выравнивание частотной характеристики:  $Q_{kk1} < Q_{kk2} < Q_{kk3}$  ( $Q_{kk2} = 1,15$ )

### 5.3 Коррекция частотной характеристики с поглощением

#### 5.3.1 Коррекция частотной характеристики с помощью цепи постоянного входного сопротивления

Цепь, рассмотренная в п.5.2.1, может быть дополнена таким образом, чтобы (а) её импеданс  $Z_1$  со стороны генератора был частотно независимым и действительным (причём  $Z_1 = R + j0$ ), и чтобы (б)  $I_b(\omega_b) = I_1$  (Рисунок 16).

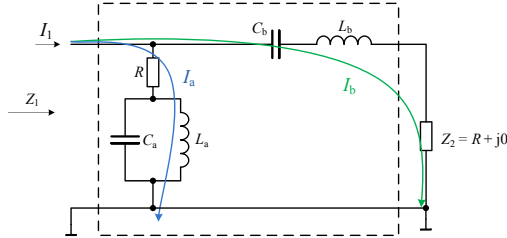


Рисунок 16 – Цепь постоянного входного сопротивления

Для этого требуется выполнение следующих двух условий

$$\omega_b = \frac{1}{\sqrt{L_a C_a}} = \frac{1}{\sqrt{L_b C_b}} \quad (5.3)$$

$$\sqrt{\frac{L_a}{C_a}} = \frac{R}{Q_b} \quad (5.4)$$

где  $Q_b = \frac{\omega_b L_b}{R} = \frac{1}{R \omega_b C_b}$  – добротность контура, состоящего из элементов  $L_b$ ,  $C_b$  и  $R$ .

Из (5.3), (5.4) можно получить формулы для расчёта элементов такой ЦК:

$$\begin{cases} L_a = \frac{R}{Q_b \omega_b} \\ C_a = \frac{Q_b}{R \omega_b} \\ L_b = \frac{Q_b R}{\omega_b} \\ C_b = \frac{1}{Q_b R \omega_b} \end{cases} \quad (5.5)$$

При подключении на входе такой ЦК генератора с  $Z_r = R + j0$  будет обеспечена минимальная неравномерность частотной характеристики  $|s_{21}^{\text{ИПУ}}|$  в полосе  $[f_h; f_b]$  при условии, что  $|s_{21}^{\text{ИПУ}}(f_b)| = |s_{21}^{\text{ИПУ}}(f_h)|$ . Для выполнения этого условия  $Q_b$  должна быть

$$Q_b = \frac{1}{\sqrt{1 - \left(\frac{f_b}{f_h}\right)^{-2}}} \quad (5.6)$$

Рассчитанная ЦК – это четырёхполюсник, включаемый каскадно с другими цепями усилителя (Рисунок 17).

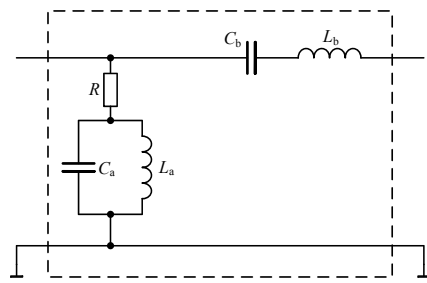


Рисунок 17 – Диссипативная цепь коррекции представляет собой четырёхполюсник, подключаемый каскадно с другими цепями усилителя

## 6 Устойчивость четырёхполюсника

При подключении ко входу и выходу четырёхполюсника некоторых импедансов с неотрицательными действительными частями могут возникнуть незатухающие колебания. То есть система из двух двухполюсников и одного четырёхполюсника *потеряет устойчивость* и образует *автогенератор*.

На *каждой* рассматриваемой частоте четырёхполюсник может быть либо *безусловно устойчивым*, либо *условно устойчивым*. В первом случае не существует пары импедансов, дополняющих четырёхполюсник до автогенератора. Во втором случае такие импедансы можно подобрать.

Подробнее об устойчивости четырёхполюсников, например, в:

Линейные транзисторные усилители СВЧ / Н. З. Шварц. – М.: Советское радио, 1980. – 368 с. (с.92-99)

### 6.1 Инвариант устойчивости четырёхполюсника по Роллетту (Rollett)

При исследовании характера устойчивости четырёхполюсника важную роль играет *инвариант устойчивости четырёхполюсника K* (часто называемый коэффициентом устойчивости четырёхполюсника):

$$K = \frac{1 + |\Delta|^2 - |s_{11}|^2 - |s_{22}|^2}{2|s_{12}||s_{21}|}, \quad (6.1)$$

где  $\Delta = s_{11}s_{22} - s_{12}s_{21}$  – детерминант матрицы рассеяния.

Для *безусловной* устойчивости четырёхполюсника на какой-либо *одной* частоте, необходимо и достаточно, чтобы на *этой* частоте выполнялись два условия:

$$\begin{cases} K > 1 \\ |\Delta| < 1 \end{cases} \quad (6.2)$$

Для безусловной устойчивости четырёхполюсника в полосе частот соотношения (6.2) должны быть выполнены во всей полосе.

Этот критерий впервые был введён в

J. Rollett, "Stability and Power-Gain Invariants of Linear Twoports," in IRE Transactions on Circuit Theory, vol. 9, no. 1, pp. 29-32, March 1962. Величина  $K$  была названа *инвариантом*, потому что остаётся неизменной при каскадном подключении к данному 4П произвольного 4П без потерь, то есть такого 4П, для которого верно

$$1 = |s_{11}|^2 + |s_{21}|^2,$$

$$1 = |s_{22}|^2 + |s_{12}|^2.$$

### 6.2 Параметры $\mu$ и $\mu'$

Позже (см. M. L. Edwards and J. H. Sinsky, "A new criterion for linear 2-port stability using a single geometrically derived parameter," in IEEE Transactions on Microwave Theory and Techniques, vol. 40, no. 12, pp. 2303-2311, Dec. 1992) было подмечено, что можно характеризовать устойчивость 4П, используя лишь одно неравенство. Для этого вводятся два комплементарные параметра  $\mu$  и  $\mu'$ :

$$\mu = \frac{1 - |s_{11}|^2}{|s_{22} - s_{11}^* \Delta| + |s_{12}||s_{21}|},$$

$$\mu' = \frac{1 - |s_{22}|^2}{|s_{11} - s_{22}^* \Delta| + |s_{12}||s_{21}|}.$$

С помощью их условие безусловной устойчивости 4П выражается так:

$$\mu > 1,$$

*или* так

$$\mu' > 1.$$

Нужно подчеркнуть, что для безусловной устойчивости достаточно выполнения *любого* из этих неравенств.

## 7 Микрополосковые цепи. Отрезки линий передачи

### 7.1 Расчёт параметров микрополосковой линии и её отрезков

Для параметров микрополосковой линии не существует точных формул. Рассчитывать их следует по приближённым формулам, приведенным в литературе или используя компьютерные вычислительные средства.

#### 7.1.1 Литература

1. Виноградов, А. Ю. Устройства СВЧ и малогабаритные антенны : учебное пособие / А. Ю. Виноградов, Р. В. Кабетов, А. М. Сомов; под редакцией А. М. Сомова. — Москва : Горячая линия-Телеком, 2016. — 444 с. (с. 235-251)
2. Справочник по расчету и проектированию СВЧ полосковых устройств/ Под ред. В.И. Вольмана. — М.: Радио и связь, 1982 г. — 328 с. (с. 62-66)

#### 7.1.2 Компьютерные средства: “microstrip line calculator”

1. <https://chemandy.com/calculators/microstrip-transmission-line-calculator-hartley27.htm>
2. <https://www.pasternack.com/t-calculator-microstrip.aspx>
3. <https://www.emtalk.com/mscalc.php>

Такие калькуляторы также встроены в САПР (например, в QucsStudio: Tools/Line Calculation).

### 7.2 Основная формула для отрезка линии передачи (трансформация импеданса)

В основе построения цепей с распределёнными параметрами, лежат свойства отрезка линии передачи с волновым сопротивлением  $W$ , к одному концу которого подключён импеданс  $Z$ :

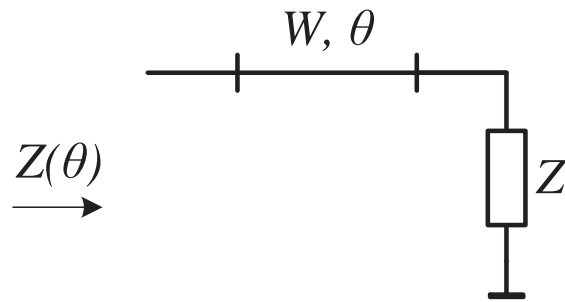


Рисунок 18 – Отрезок длинной линии (волновода)

У такого отрезка угловой электрической длины  $\theta$  импеданс, измеренный со стороны другого конца,  $Z(\theta)$  определяется по формуле  $\mathrm{Re}\{z\}$

$$Z(\theta) = W \frac{Z + W j \operatorname{tg} \theta}{W + Z j \operatorname{tg} \theta} \quad (7.1)$$

Угловая электрическая длина находится по формуле

$$\theta = 2\pi \frac{l}{\lambda}, \quad (7.2)$$

где  $l$  – длина отрезка линии передачи,  $\lambda$  – длина волны в линии передачи.

Для построения частотных характеристик цепей с распределёнными параметрами удобно пользоваться следующими соотношениями

$$\theta = \theta_0 \frac{f}{f_0}, \quad (7.3)$$

где  $\theta_0$  – это угловая электрическая длина, соответствующая частоте  $f_0$ .

### 7.3 Замена цепей с сосредоточенными параметрами отрезками линий

С помощью микрополосковой линии легко осуществить параллельно включённый импеданс. Поэтому на *одной частоте* параллельно включённую цепь с сосредоточенными параметрами можно заменить отрезком линии передачи. Но такая замена в *полосе частот* всегда приводит к неидентичным частотным характеристикам.

#### 7.3.1 Замена параллельно включённой катушки индуктивности

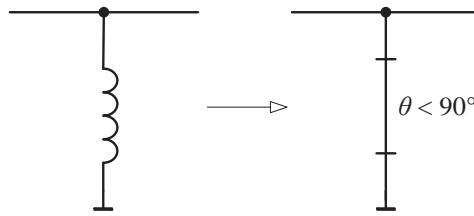


Рисунок 19 – Замена параллельно включённой индуктивности с помощью отрезка длинной линии

$$Z(\theta) = W j \operatorname{tg} \theta \quad (7.4)$$

#### 7.3.2 Замена параллельно включённого конденсатора

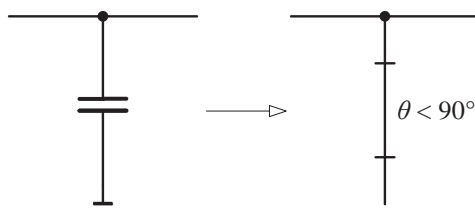


Рисунок 20 – Замена параллельно включённой индуктивности с помощью отрезка длинной линии

$$Z(\theta) = \frac{W}{j \operatorname{tg} \theta} \quad (7.5)$$

## 8 Аппроксимация частотных характеристик сосредоточенных цепей отрезками длинных линий

### 8.1 Последовательное включение отрезка длинной линии

В общем случае последовательное включение некоторого произвольного импеданса не может быть реализовано с помощью отрезков длинных линий. Поэтому замена последовательно включённых сосредоточенных элементов должна осуществляться с учётом особенностей той схемы, в которой эти элементы используются.

Такую замену следует осуществлять, используя трансформирующие свойства последовательно включённого отрезка длинной линии. Для описания этих свойств вводятся следующие обозначения:

$$\psi = \frac{W}{R_r} \quad (8.1)$$

$$\eta = \operatorname{tg}\theta \quad (8.2)$$

с учётом которых (7.1) примет новый вид. Если к одному концу отрезка длинной линии подключён импеданс  $z_2 = \frac{z_2}{R_r}$ , то с другого его конца будет измеряться импеданс

$$z_\psi(\eta) = \frac{z_2 + \psi j\eta}{1 + z_2 \frac{j\eta}{\psi}} \quad (8.3)$$

При изменении  $\eta$  (а следовательно, и  $\theta$ ) точка в  $s$ -плоскости, соответствующая  $z_\psi(\eta)$ , будет описывать окружность  $C_\psi$ , центр которой лежит на действительной оси. При изменении  $\psi$  как радиус, так и положение центра этой окружности будут меняться (но центр остаётся на действительной оси). Все окружности этого семейства пересекаются в точке  $s_2 = \frac{z_2 - 1}{z_2 + 1}$ . Возрастанию  $\theta$  соответствует движение по часовой стрелке в  $s$ -плоскости.

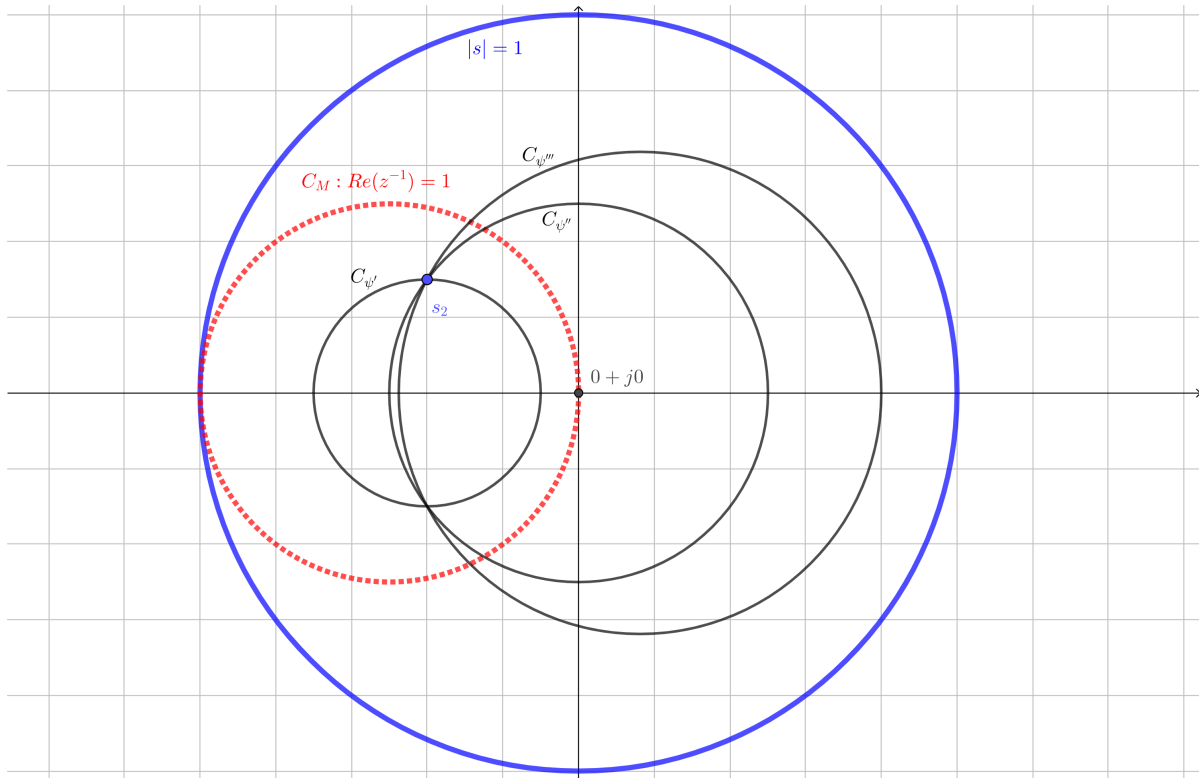


Рисунок 21 – Трансформация импеданса отрезками длинных линий с разными волновыми сопротивлениями:  $\psi' < \psi'' < \psi'''$

### 8.1.1 Замена Г-образного четырёхполюсника (для схемы на рисунке 7)

Замена последовательного элемента Г-образного четырёхполюсника отрезком длинной линии должна осуществлять решение уравнения

$$Re\left(\frac{1}{z_\psi(\eta)}\right) = 1 \quad (8.4)$$

Графически решениям (8.4) соответствуют точки пересечения  $C_\psi$  с окружностью  $C_M$ , являющейся образом окружности импедансов, для которых  $Re(z^{-1}) = 1$ . В зависимости от значения  $\psi$  уравнение (8.4) может иметь разное число корней  $\eta_i$ : один, два или ни одного.

Если ограничиться значениями  $\theta < 180^\circ$  (такой выбор способствует расширению полосы частот согласования), то в случае одного корня последовательный элемент Г-образного четырёхполюсника можно заменить всего лишь одним отрезком длинной линии. При этом подключение параллельного элемента не требуется (поскольку окружности касаются друг друга в точке  $0 + j0$ ).

Два корня соответствуют двум возможным заменам последовательного элемента (например, реактивности  $jX_B$  на рисунке 7). Они отличаются электрической длиной. В этом случае необходимо добавить параллельный элемент, чтобы добиться согласования (см. подраздел 7.3).

Отсутствие корней говорит о том, что Г-образный четырёхполюсник нельзя заменить одним или двумя отрезками длинной линии, так чтобы обеспечить согласование.

В случае двух корней нужно иметь в виду, что необходимый импеданс параллельного элемента **никогда** не совпадает с импедансом, рассчитанным для Г-образного четырёхполюсника на сосредоточенных элементах, что видно на рисунке 22.

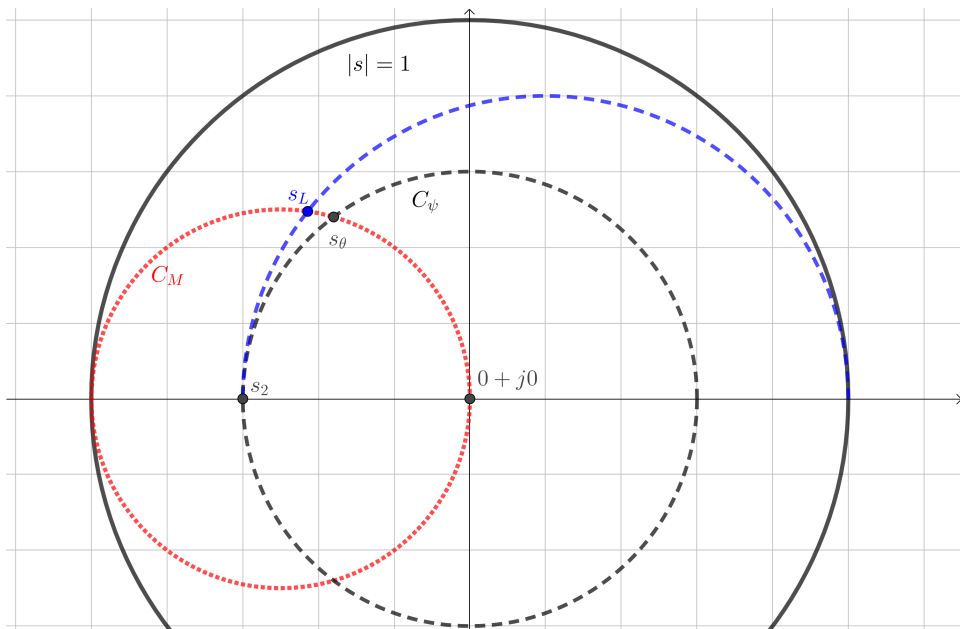


Рисунок 22 – Трансформация импеданса с помощью отрезка длинной линии

Действительно, если последовательная сосредоточенная индуктивность трансформирует  $s_2$  в  $s_L$ , то отрезок длинной линии переводит  $s_2$  в  $s_\theta$ , всегда отличную от  $s_L$ . Следовательно, и импеданс параллельного элемента Г-звена, выполненного в виде отрезка линии примет новое значение.

### 8.1.2 Замена последовательного контура (для ЦК на рисунке 12)

Полуволновый отрезок линии ( $\theta_b = 180^\circ$ ) эквивалентен последовательному колебательному контуру в одной точке независимо от значения  $\psi$ . На  $s$ -плоскости это точка касания окружностей  $C_\psi$  и  $C_{LC}$ , где  $C_{LC}$  – окружность коэффициентов отражения от последовательного соединения L, C и  $R = R_g$  (Рисунок 23).

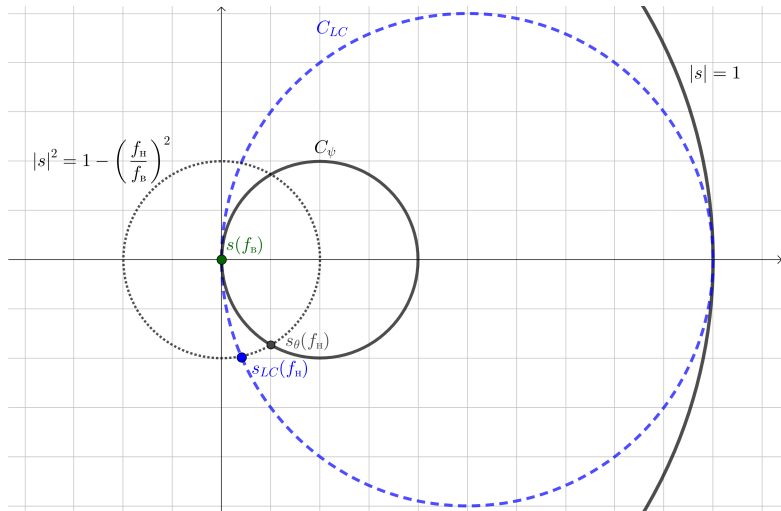


Рисунок 23 – ЦК с отражением: рассогласование на  $f_h$  с помощью полуволнового отрезка длинной линии

Второе условие накладывается на частоте  $f_h$ :

$$1 - \left( \frac{f_h}{f_b} \right)^2 = \left| \frac{z_\psi(\eta_h) - 1}{z_\psi(\eta_h) + 1} \right|^2, \quad (8.5)$$

где  $\eta_h = \operatorname{tg} \left( \pi \frac{f_h}{f_b} \right)$ . Корень этого уравнения  $\psi$  обеспечит потери рассогласования на  $f_h$  распределённой ЦК также, что и у сосредоточенной цепи.

### 8.1.3 Замена диссипативной цепи коррекции (для ЦК на рисунке 17)

Если, пользуясь результатом предыдущего пункта, взять полуволновый отрезок в качестве замены последовательного контура диссипативной ЦК (Рисунок 17), то его нормированное волновое сопротивление  $\psi_b$  находится из уравнения

$$\left( \frac{f_h}{f_b} \right)^2 = \frac{r_{\psi_b}}{r_{\psi_b}^2 + x_{\psi_b}^2}, \quad (8.6)$$

где  $r_{\psi_b} + jx_{\psi_b} = z_{\psi_b}(\eta_h)$ .

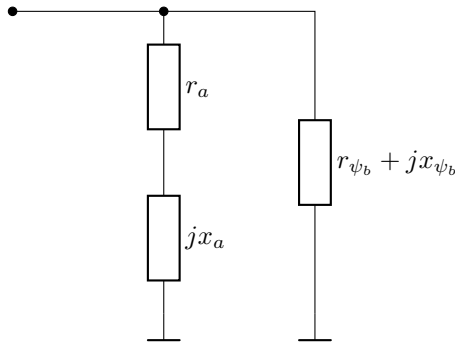


Рисунок 24 – ЦК с поглощением, нагруженная на  $R = R_t$ :

Чтобы цепь коррекции представляла собой цепь постоянного входного сопротивления, реактивный элемент  $jx_a$  заменяются разомкнутым полуволновым отрезком с нормированным волновым сопротивлением  $\psi_a$ , причём

$$\psi_a = \frac{1}{\psi_b - \psi_b^{-1}}. \quad (8.7)$$

Омическое сопротивление  $r_a$  получает новое значение по сравнению с цепью на сосредоточенных элементах:

$$r_a = \frac{1}{1 - \psi_b^{-2}}. \quad (8.8)$$

Замена  $jx_a$  полуволновым отрезком имеет два недостатка по сравнению с параллельным контуром на рисунке 17. Во-первых, при убывании частоты, начиная со значения  $\frac{f_b}{2}$ ,  $|s_{21}^{\text{ПК}}|$  начинает расти, то есть вне основной полосы пропускания каскад будет иметь значительное усиление. Во-вторых, в этом случае значительно снижается положительный эффект оказываемый  $r_a$  на устойчивость усилителя вне полосы  $[f_n, f_b]$ .

Чтобы в какой-то мере компенсировать эти недостатки, можно отказаться от строгого постоянства входного сопротивления во всей полосе частот и заменить  $jx_a$  параллельным соединением двух отрезков линий, короткозамкнутым и разомкнутым, имитирующими соответственно индуктивность и ёмкость параллельного контура.

## 8.2 S-матрица отрезка линии передачи

Матрица рассеяния отрезка линии угловой электрической длины  $\theta$ , согласованного с генератором и нагрузкой ( $\psi = 1$ ), имеет очень простой вид

$$S = \begin{pmatrix} 0 & e^{-j\theta} \\ e^{-j\theta} & 0 \end{pmatrix} \quad (8.9)$$

Для случая  $\psi \neq 1$  удобно ввести следующие обозначения:

$$h = e^{-j\theta} \quad (8.10)$$

$$\sigma = \frac{\psi - 1}{\psi + 1} \quad (8.11)$$

Этот приём способствует компактной записи матрицы рассеяния:

$$S = \frac{1}{1 - h^2\sigma^2} \begin{pmatrix} \sigma(1 - h^2) & h(1 - \sigma^2) \\ h(1 - \sigma^2) & \sigma(1 - h^2) \end{pmatrix} \quad (8.12)$$